

**АТОМНАЯ СТРУКТУРА МОНОКРИСТАЛЛОВ  $Tl_2Ba_2CaCu_2O_8$  ДО  
И ПОСЛЕ ФАЗОВОГО ПЕРЕХОДА В СВЕРХПРОВОДЯЩЕЕ  
СОСТОЯНИЕ**

*М.К.Бломберг, М.Ю.Мерисало, В.Н.Молчанов<sup>1)</sup>, Р.А.Тамазян<sup>1)</sup>,  
В.И.Симонов<sup>1)</sup>*

*Физический факультет Хельсинского Университета*

*1) Институт кристаллографии РАН*

*117333, Москва*

Поступила в редакцию 20 марта 1992 г.

Методом рентгеноструктурного анализа проведено уточнение атомного строения монокристаллов Tl-фазы 2212 при 296, 160 и 60 К. Переход в сверхпроводящее состояние сопровождается заметными смещениями атомов  $TlO_4$ -слоя и аномальными изменениями в  $CuO_5$ -пирамидах. Макросимметрия кристалла при этом фазовом переходе остается тетрагональной. Локальные ромбические искажения структуры, связанные со смещениями атомов Tl, имеют место до и после фазового перехода.

В системе Tl-Ba-Ca-Cu-O идентифицировано 8 фаз с общей химической формулой  $Tl_mBa_2Ca_{n-1}O_{2n+m+2}$ , где  $m = 1, 2$ ;  $n = 1, 2, 3, 4$  с температурами перехода в сверхпроводящее состояние от 80 до 120 К <sup>1-6</sup>. Все фазы имеют близкие значения параметров  $a = b \approx 3,85 \text{ \AA}$ , и резко отличаются по параметрам  $c$ . Последние имеют характерные для каждой из фаз состава  $[m, n]$  значения:  $[1, 1] - 6,69$ ;  $[1, 2] - 12,73$ ;  $[1, 3] - 15,87$ ;  $[1, 4] - 19,10$ ;  $[2, 1] - 23,15$ ;  $[2, 2] - 29,39$ ;  $[2, 3] - 36,26$ ;  $[2, 4] - 42,00 \text{ \AA}$ . Большая часть структурных исследований Tl-фаз выполнена на керамических образцах <sup>5,7-9</sup>. Вопрос об атомных перестройках в процессе фазового перехода в сверхпроводящее состояние для этих фаз остается дискуссионным. В данной работе проведено рентгеноструктурное исследование монокристалла  $Tl_2Ba_2CaCu_2O_8$  с  $T_c = 110$  К до и после перехода в сверхпроводящее состояние. Кристаллы выращены и обследованы в ИФТТ РАН. Методы выращивания, результаты измерения проводимости и структурного исследования при комнатной температуре опубликованы в <sup>10</sup>.

Рентгеновский дифракционный эксперимент в данной работе проведен на четырехкружном дифрактометре фирмы HUBER-5042, ( $MoK\alpha$ -излучение, графитовый монохроматор,  $\omega/2\vartheta$  сканирование,  $\sin \vartheta/\lambda \leq 1,22$ ), оснащенном гелиевой приставкой Displex-202 замкнутого типа с двумя циклами охлаждения. Измерения интегральных интенсивностей выполнены на сферическом образце диаметром 0,226 мм, при температурах 290, 160 и 60 К и позволили зарегистрировать соответственно 1844, 1408 и 1482 рефлекса. Анализ дифракционной картины подтвердил тетрагональную группу симметрии кристалла  $I4/mmm$ . Параметры элементарной ячейки были  $a = 3,8545(3)$ ,  $c = 29,317(2) \text{ \AA}$ ;  $a = 3,8501$ ,  $c = 29,261(2) \text{ \AA}$ ;  $a = 3,8486(4)$ ,  $c = 29,232(2) \text{ \AA}$  при 296, 160 и 60 К соответственно. В работах <sup>5,7,9</sup> методами электронографии в ряде Tl-сверхпроводников обнаружены сателлитные рефлексы, указывающие на присутствие модуляции в структурах. В нашем случае дифракции рентгеновского излучения сателлитные рефлексы не обнаружены даже при специальном сканировании обратного пространства.

В качестве исходной для уточнения атомной структуры монокристалла  $Tl_2Ba_2CaCu_2O_8$  (2212) взята модель из работ <sup>11-14</sup>. Уточнение структурных параметров проводилось методом наименьших квадратов с контролем результатов по разностным синтезам электронной плотности. Сильно коррелирующие параметры уточнялись с использованием пошагового сканирования <sup>15</sup>. Заключительные, обычный и весовой, факторы расходимости:  $R/R_w$  оказались

равны 0,0244/0,0232 (296 К); 0,0292/0,0272 (160 К) и 0,0307/0,0294 (60 К). Уточненные координаты базисных атомов и их эквивалентные тепловые параметры приведены в табл.1.

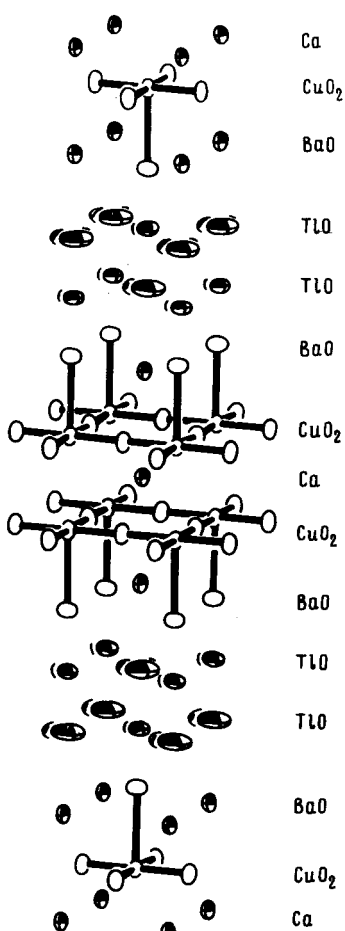
**Таблица 1.** Координаты базисных атомов, коэффициенты заполнения позиций  $q$ , эквивалентные тепловые параметры  $B_{\text{экв}}$ . Строки 1-3 отвечают температурам 296, 160 и 60 К

Атом	$q$	$x/a$	$y/b$	$z/c$	$B_{\text{экв}}$
Tl	0,923(4)	0,516	0,516	0,21365(2)	1,57(2)
	0,888(4)	0,51075	0,51075	0,21350(2)	1,18(2)
	0,900(4)	0,5165	0,5165	0,21357(2)	0,98(2)
Ba	1,0	0,0	0,0	0,12157(2)	0,82(2)
	1,0	0,0	0,0	0,12138(1)	0,50(2)
	1,0	0,0	0,0	0,12147(2)	0,45(2)
(Ca,Tl)	0,88+0,12	0,0	0,0	0,0	0,74(4)
	0,89+0,11	0,0	0,0	0,0	0,41(5)
	0,87+0,13	0,0	0,0	0,0	0,40(4)
Cu	1,0	0,5	0,5	0,05402(4)	0,58(3)
	1,0	0,5	0,5	0,05395(3)	0,36(2)
	1,0	0,5	0,5	0,05387(4)	0,32(2)
O1	1,0	0,0	0,5	0,0526(1)	1,0(1)
	1,0	0,0	0,5	0,0526(1)	0,6(1)
	1,0	0,0	0,5	0,0526(2)	0,6(1)
O2	1,0	0,5	0,5	0,1456(3)	1,5(2)
	1,0	0,5	0,5	0,1448(2)	1,0(3)
	1,0	0,5	0,5	0,1452(3)	0,9(2)
O3 <sup>2)</sup>	1,0	0,575(3)	0,575(3)	0,2808(5)	2,7(4)
	1,0	0,566(4)	0,566(4)	0,2821(3)	2,2(3)
	1,0	0,568(4)	0,568(4)	0,2815(7)	2,4(4)

<sup>2)</sup>Тепловые параметры атома O3 уточнены в изотропном приближении.

Основные результаты данного структурного исследования сводятся к следующему. Атомы Ca в своих кристаллографических позициях (0;0;0) с вероятностью 0,12 изоморфно замещены атомами Tl. При этом атомы Tl свою основную позицию вблизи точки (0,5; 0,5; 0,213) заселяют с вероятностью 0,90. Не исключено, что 10% вакантных по атомам Tl мест изоморфно заняты более легкими атомами Cu, как это было указано в <sup>10</sup>. Однако точность наших экспериментальных данных не дает надежного подтверждения вхождения на эти места меди или каких-либо других атомов. Существенной особенностью структуры является смещение атомов Tl с оси четвертого порядка (см. табл.1). Одновременно с атомами Tl смещаются кислороды O3, координирующие таллий и входящие в полиэдры бария. Эти смещения понижают локальную симметрию структуры до ромбической. При этом ромбические области кристалла развернуты одна относительно другой на 90° и статистически сохраняют тетрагональную симметрию для макрокристалла. Формально ситуация не отличается от обычного двойникования. Однако выполненный нами специальный анализ профилей дифракционных отражений не выявил расщепления пиков. Аналогичная ситуация ранее была обнаружена в монокристаллах макроскопически тетрагональной фазы соединения YBa<sub>2</sub>Cu<sub>3</sub>O<sub>6+δ</sub> <sup>16</sup>. Отсутствие расщепления может быть обусловлено концентрацией вакансий на границах блоков и сбрасыванием на них напряжений. Размеры областей локальной ромбической симметрии нашими методами не поддаются определению.

Атомы Tl в исследуемой структуре расположены в искаженном октаэдре из атомов O с тремя парами расстояний Tl-O~ 2,00; 2,35 и 2,83 Å. Такая



Атомная модель структуры  $Tl_2Ba_2CaCu_2O_8$

координация является типичной для таллия <sup>13,17</sup>. Атомы меди находятся в тетрагональных пирамидах с расстояниями Cu-01 до четырех кислородов основания пирамиды  $\sim 1,93 \text{ \AA}$  и существенно большим и наиболее резко зависящим от температуры расстоянием Cu-02 до апикального кислорода  $\sim 2,683(8)$  при  $T = 296 \text{ K}$ ;  $2,658(8)$  при  $T = 160 \text{ K}$ ;  $2,670(7) \text{ \AA}$  при  $T = 60 \text{ K}$ . Координационный полиэдр атома Са представляет собой укороченную квадратную призму, высота которой меньше бокового ребра на  $0,55 \text{ \AA}$ . Наибольшим по объему в структуре является полиэдр  $[BaO_9]$  с набором расстояний Ba-O от  $2,78$  до  $2,89 \text{ \AA}$ . Характер тепловых колебаний атомов в структуре представлен эллипсоидами на рисунке.

Фазовый переход в сверхпроводящее состояние не сопровождается изменением симметрии и метрики решетки кристалла. Тем не менее некоторые структурные параметры в области перехода имеют аномальную температурную зависимость. Поведение основных межатомных расстояний в структуре при изменении температуры до и после фазового перехода представлено в табл.2. Максимальное изменение при фазовом переходе испытывает расстояние Cu-02, которое при охлаждении от  $296$  до  $160 \text{ K}$  естественно уменьшается от  $2,683(8)$  до  $2,658(8) \text{ \AA}$ , а при переходе в сверхпроводящее состояние вновь возрастает до  $2,670(7) \text{ \AA}$  при  $T = 60 \text{ K}$ . Аномалия в поведении межатомных расстояний имеет место и для взаимного расположения соседних  $CuO_2$ -слоев. При температурах

296, 160, 60 K расстояние между слоями в структуре составляет 3,084; 3,076; 3,077 Å. Выход атомов Cu из своего кислородного слоя при понижении температуры уменьшается монотонно 0,042 Å; 0,041 Å; и более резко до 0,036 Å. Как известно из литературы расстояние Cu–02, выход атома Cu из кислородного слоя и температура фазового перехода в сверхпроводящее состояние сильно коррелируют друг с другом. Эти структурные характеристики определяются валентным состоянием атомов Cu и O. Например, в кристаллической структуре TlBa<sub>2</sub>LaCu<sub>2</sub>O<sub>7</sub><sup>17</sup>, которая вообще не переходит в сверхпроводящее состояние (формальная валентность атома меди Cu<sup>2+</sup>), расстояние Cu–02 2,452(5) Å сильно укорочено по сравнению с аналогичными расстояниями в кристаллах, переходящих в сверхпроводящее состояние. Выход атома Cu из кислородного слоя на 0,180 Å в структуре TlBa<sub>2</sub>LaCu<sub>2</sub>O<sub>7</sub> существенно увеличен по сравнению со сверхпроводящими фазами. Аномальные изменения структурных параметров, характеризующих строение слоя CuO<sub>2</sub> и отстояние апикального кислорода O<sub>2</sub>, связаны с фазовым переходом в сверхпроводящее состояние и надежно фиксируются рентгеновским дифракционным экспериментом. При анализе структурных изменений необходимо поведение слоя CuO<sub>2</sub> рассматривать в совокупности с апикальными кислородами O<sub>2</sub>.

Таблица 2. Основные межатомные расстояния в структуре Tl<sub>2</sub>Ba<sub>2</sub>CaCu<sub>2</sub>O<sub>8</sub>

Катион	Анион	Расстояние			Число связей
		296 K	160 K	60 K	
Tl	02	1,998(8)	2,012(6)	2,000(6)	1
	03	2,00(1)	2,03(1)	2,00(1)	1
	03	2,32(2)	2,37(1)	2,355(9)	2
	03	2,85(1)	2,81(1)	2,840(8)	2
Ba	01	2,793(3)	2,786(2)	2,784(1)	4
	02	2,815(2)	2,807(3)	2,808(1)	4
	03	2,89(2)	2,85(1)	2,86(1)	1
Cu	02	2,683(8)	2,658(8)	2,670(7)	1
	01	1,928(1)	1,926(1)	1,925(1)	4
Ca	01	2,468(3)	2,464(2)	2,464(2)	8

Авторы благодарны Р.П.Шибаевой и М.П.Кулакову за любезно предоставленные для структурного исследования монокристаллы и обсуждение результатов.

- 
1. Z.Z.Sheng, and A.M.Hermann, *Nature* **332**, 138 (1988).
  2. R.M.Hazen, L.W.Finger, R.J.Angel et al., *Phys. Rev. Lett.* **60**, 1657 (1988).
  3. S.S.Partschin, V.Y.Lee, E.M.Engler et al., *Phys. Rev. Lett.* **60**, 2539 (1988).
  4. C.C.Torardi, M.A.Subramanian, J.C.Calabrese et al., *Science* **240**, 631 (1988).
  5. S.S.Parkin, V.Y.Lee, A.I.Nazzal et al., *Phys. Rev. Lett.* **61**, 750 (1988).
  6. M.Hervieu, A.Maignan, C.Martin et al., *Mod. Phys. Lett. B* **2**, 1103 (1988).
  7. S.S.Parkin, V.Y.Lee, A.I.Nazzal et al., *Phys. Rev. B* **38**, 6531 (1988).
  8. K.Yvon, and M.François, *Z. Phys. B. Cond. Mat.* **76**, 413 (1989).
  9. R.B.Beyers, S.S.Parkin, V.Y.Lee et al., *IBM J.Develop* **33**, 228 (1989).
  10. Л.А.Мурадян, В.Н.Молчанов, Р.А.Тамазян и др. Сверхпроводимость: физика, химия, техника **4**, 277 (1991).
  11. M.A.Subramanian, J.C.Calabrese, C.C.Torardi et al., *Nature* **332**, 420 (1988).
  12. M.Onoda, S.Kondon, K.Fukuda, M.Sato, *Jap. J. Appl. Phys.* **27**, L1234 (1989).
  13. Y.Gao, R.Li, P.Coppens et al., *Acta Cryst. A* **45**, FC11 (1989).
  14. D.E.Cox, C.C.Torardi, M.A.Subramanian et al., *Phys. Rev. B* **38**, 6624 (1988).
  15. Л.А.Мурадян, С.Ф.Радаев, В.И.Симонов, Методы структурного анализа, М.: Наука, 1989, 5.
  16. В.Н.Топников, В.И.Симонов, Л.А.Мурадян и др. Письма в ЖЭТФ **48**, 457 (1987).
  17. В.Н.Молчанов, Р.А.Тамазян, В.И.Симонов и др., Кристаллография, в печати.